

$^{159}\text{Tb}(^{18}\text{O},5\gamma), ^{162}\text{Dy}(^{14}\text{N},4\gamma)$  **1988Kr19**

Type	Author	Citation	History Literature Cutoff Date
Full Evaluation	Balraj Singh	ENSDF	08-Dec-2015

**1988Kr19:**  $^{159}\text{Tb}(^{18}\text{O},5\gamma)$  E=80-96 MeV. Measured  $E\gamma$ ,  $I\gamma$ ,  $\gamma\gamma$ , excitation functions,  $\gamma\gamma(\theta)$ ,  $\gamma(\theta)$ .  $^{162}\text{Dy}(^{14}\text{N},4\gamma)$ , E=71.5 MeV. Measured  $E\gamma$ , ce.  
 See also  $^{159}\text{Tb}(^{18}\text{O},5\gamma), ^{165}\text{Ho}(^{12}\text{C},5\gamma)$  dataset from the same group ([2000Ho16](#)).

 $^{172}\text{Ta}$  Levels

E(level) <sup>†</sup>	J <sup>π</sup> #	E(level) <sup>†</sup>	J <sup>π</sup> #	E(level) <sup>†</sup>	J <sup>π</sup> #	E(level) <sup>†</sup>	J <sup>π</sup> #
0.0 <sup>@</sup>	(3 <sup>+</sup> )	4785.7 <sup>@</sup> 10	(25 <sup>+</sup> )	2155.5+x <sup>&amp;</sup>	(16 <sup>+</sup> )	868.5+y <sup>b</sup>	(10 <sup>-</sup> )
91.3 <sup>@</sup> 3	(5 <sup>+</sup> )	0.0+x <sup>‡&amp;</sup>	(6 <sup>+</sup> )	2469.5+x <sup>a</sup>	(17 <sup>+</sup> )	1051.4+y <sup>c</sup>	(11 <sup>-</sup> )
264.8 <sup>@</sup> 5	(7 <sup>+</sup> )	113.5+x <sup>a</sup>	(7 <sup>+</sup> )	2798.4+x <sup>&amp;</sup>	(18 <sup>+</sup> )	1331.8+y <sup>b</sup>	(12 <sup>-</sup> )
519.8 <sup>@</sup> 6	(9 <sup>+</sup> )	252.4+x <sup>&amp;</sup>	(8 <sup>+</sup> )	3133.8+x <sup>a</sup>	(19 <sup>+</sup> )	1549.3+y <sup>c</sup>	(13 <sup>-</sup> )
850.6 <sup>@</sup> 6	(11 <sup>+</sup> )	415.2+x <sup>a</sup>	(9 <sup>+</sup> )	3470.7+x <sup>&amp;</sup>	(20 <sup>+</sup> )	1876.8+y <sup>b</sup>	(14 <sup>-</sup> )
1248.4 <sup>@</sup> 7	(13 <sup>+</sup> )	603.6+x <sup>&amp;</sup>	(10 <sup>+</sup> )	0.0+y <sup>‡b</sup>	(4 <sup>-</sup> )	2133.3+y <sup>c</sup>	(15 <sup>-</sup> )
1704.2 <sup>@</sup> 8	(15 <sup>+</sup> )	814.6+x <sup>a</sup>	(11 <sup>+</sup> )	86.7+y <sup>c</sup>	(5 <sup>-</sup> )	2496.8+y <sup>b</sup>	(16 <sup>-</sup> )
2212.4 <sup>@</sup> 8	(17 <sup>+</sup> )	1045.6+x <sup>&amp;</sup>	(12 <sup>+</sup> )	203.7+y <sup>b</sup>	(6 <sup>-</sup> )	2797.8+y <sup>c</sup>	(17 <sup>-</sup> )
2771.9 <sup>@</sup> 9	(19 <sup>+</sup> )	1297.6+x <sup>a</sup>	(13 <sup>+</sup> )	322.2+y <sup>c</sup>	(7 <sup>-</sup> )	3186.8+y <sup>b</sup>	(18 <sup>-</sup> )
3386.2 <sup>@</sup> 9	(21 <sup>+</sup> )	1568.0+x <sup>&amp;</sup>	(14 <sup>+</sup> )	491.8+y <sup>b</sup>	(8 <sup>-</sup> )	3537.3+y <sup>c</sup>	(19 <sup>-</sup> )
4057.7 <sup>@</sup> 10	(23 <sup>+</sup> )	1853.0+x <sup>a</sup>	(15 <sup>+</sup> )	642.3+y <sup>c</sup>	(9 <sup>-</sup> )		

<sup>†</sup> From  $E\gamma$  data, uncertainty on  $E\gamma$  is assigned as 0.3 keV (evaluator).

<sup>‡</sup> x,y<40 keV ([1988Kr19](#)).

<sup>#</sup> From [1988Kr19](#). The basis of these assignments is probably  $\gamma(\theta)$  and  $\gamma\gamma(\theta)$ , but details of these data are not available.

<sup>@</sup> Band(A):  $\pi 1/2[541] \otimes \nu 1/2[521], \alpha=1$ .

<sup>&</sup> Band(B):  $\pi 5/2[402] \otimes \nu 7/2[633], \alpha=0$ . The spins are one unit less than in [2000Ho16](#).

<sup>a</sup> Band(b):  $\pi 5/2[402] \otimes \nu 7/2[633], \alpha=1$ . The spins are one unit less than in [2000Ho16](#).

<sup>b</sup> Band(C):  $\pi 1/2[541] \otimes \nu 7/2[633], \alpha=0$ . The spins are three units less than in [2000Ho16](#).

<sup>c</sup> Band(c):  $\pi 1/2[541] \otimes \nu 7/2[633], \alpha=1$ . The spins are three units less than in [2000Ho16](#).

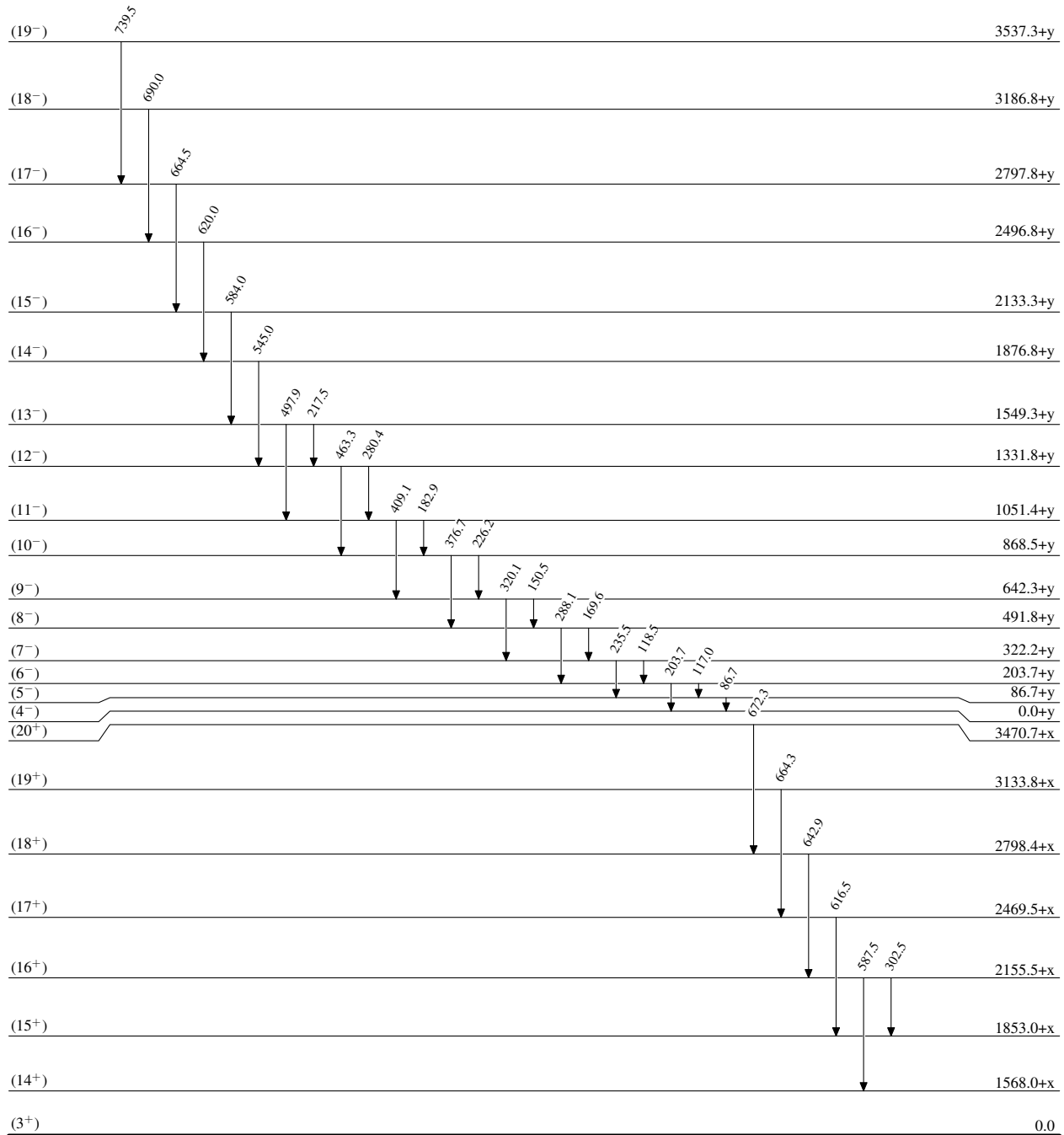
 $\gamma(^{172}\text{Ta})$ 

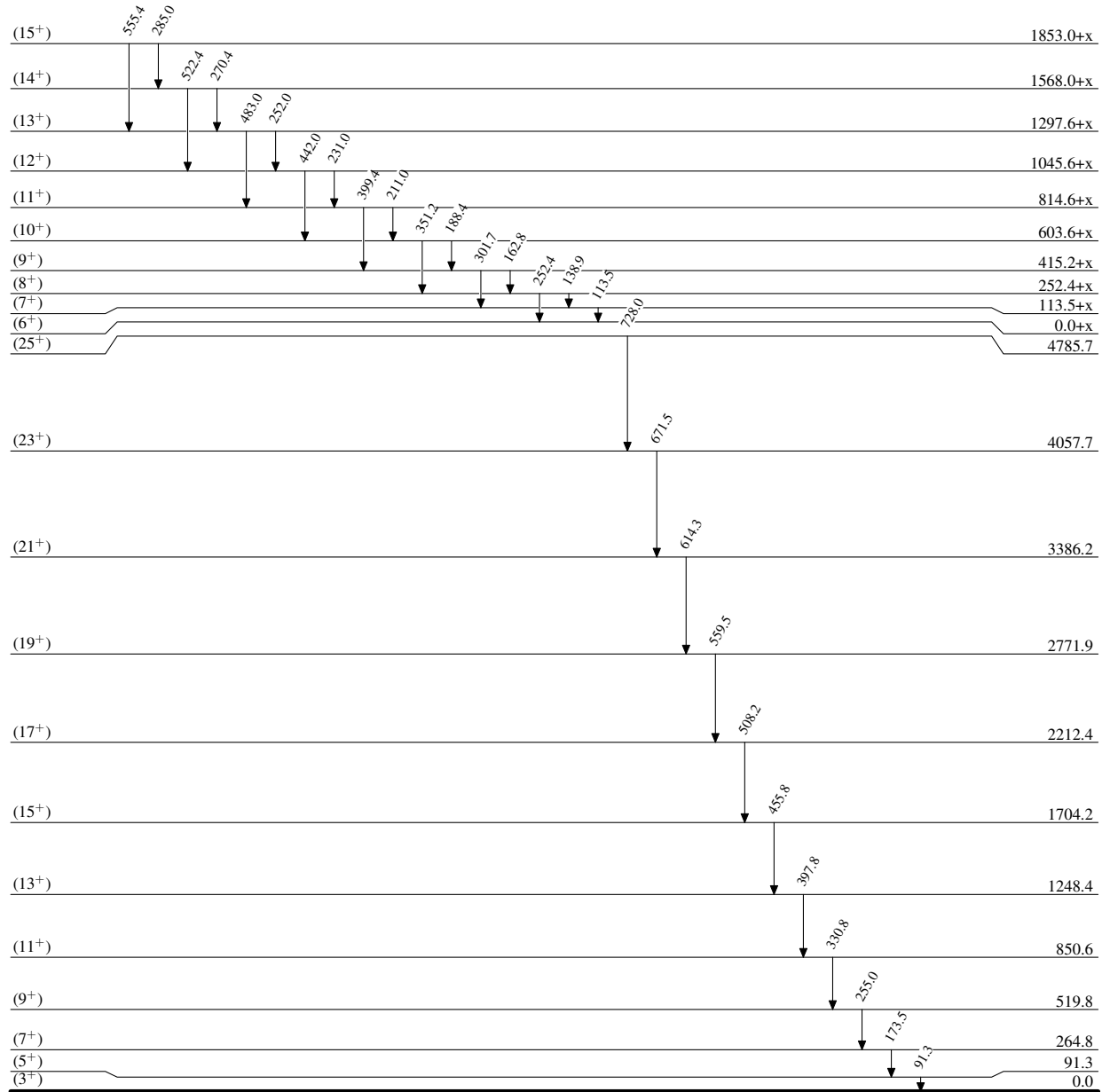
$E\gamma$	$E_i(\text{level})$	$J_i^\pi$	$E_f$	$J_f^\pi$	$E\gamma$	$E_i(\text{level})$	$J_i^\pi$	$E_f$	$J_f^\pi$
86.7	86.7+y	(5 <sup>-</sup> )	0.0+y	(4 <sup>-</sup> )	226.2	868.5+y	(10 <sup>-</sup> )	642.3+y	(9 <sup>-</sup> )
91.3	91.3	(5 <sup>+</sup> )	0.0	(3 <sup>+</sup> )	231.0	1045.6+x	(12 <sup>+</sup> )	814.6+x	(11 <sup>+</sup> )
113.5	113.5+x	(7 <sup>+</sup> )	0.0+x	(6 <sup>+</sup> )	235.5	322.2+y	(7 <sup>-</sup> )	86.7+y	(5 <sup>-</sup> )
117.0	203.7+y	(6 <sup>-</sup> )	86.7+y	(5 <sup>-</sup> )	252.0	1297.6+x	(13 <sup>+</sup> )	1045.6+x	(12 <sup>+</sup> )
118.5	322.2+y	(7 <sup>-</sup> )	203.7+y	(6 <sup>-</sup> )	252.4	252.4+x	(8 <sup>+</sup> )	0.0+x	(6 <sup>+</sup> )
138.9	252.4+x	(8 <sup>+</sup> )	113.5+x	(7 <sup>+</sup> )	255.0	519.8	(9 <sup>+</sup> )	264.8	(7 <sup>+</sup> )
150.5	642.3+y	(9 <sup>-</sup> )	491.8+y	(8 <sup>-</sup> )	270.4	1568.0+x	(14 <sup>+</sup> )	1297.6+x	(13 <sup>+</sup> )
162.8	415.2+x	(9 <sup>+</sup> )	252.4+x	(8 <sup>+</sup> )	280.4	1331.8+y	(12 <sup>-</sup> )	1051.4+y	(11 <sup>-</sup> )
169.6	491.8+y	(8 <sup>-</sup> )	322.2+y	(7 <sup>-</sup> )	285.0	1853.0+x	(15 <sup>+</sup> )	1568.0+x	(14 <sup>+</sup> )
173.5	264.8	(7 <sup>+</sup> )	91.3	(5 <sup>+</sup> )	288.1	491.8+y	(8 <sup>-</sup> )	203.7+y	(6 <sup>-</sup> )
182.9	1051.4+y	(11 <sup>-</sup> )	868.5+y	(10 <sup>-</sup> )	301.7	415.2+x	(9 <sup>+</sup> )	113.5+x	(7 <sup>+</sup> )
188.4	603.6+x	(10 <sup>+</sup> )	415.2+x	(9 <sup>+</sup> )	302.5	2155.5+x	(16 <sup>+</sup> )	1853.0+x	(15 <sup>+</sup> )
203.7	203.7+y	(6 <sup>-</sup> )	0.0+y	(4 <sup>-</sup> )	320.1	642.3+y	(9 <sup>-</sup> )	322.2+y	(7 <sup>-</sup> )
211.0	814.6+x	(11 <sup>+</sup> )	603.6+x	(10 <sup>+</sup> )	330.8	850.6	(11 <sup>+</sup> )	519.8	(9 <sup>+</sup> )
217.5	1549.3+y	(13 <sup>-</sup> )	1331.8+y	(12 <sup>-</sup> )	351.2	603.6+x	(10 <sup>+</sup> )	252.4+x	(8 <sup>+</sup> )

Continued on next page (footnotes at end of table)

$^{159}\text{Tb}(\text{<sup>18</sup>O},\text{5n}\gamma),^{162}\text{Dy}(\text{<sup>14</sup>N},\text{4n}\gamma)$     **1988Kr19 (continued)** $\gamma(^{172}\text{Ta})$  (continued)

$E_\gamma$	$E_i(\text{level})$	$J_i^\pi$	$E_f$	$J_f^\pi$	$E_\gamma$	$E_i(\text{level})$	$J_i^\pi$	$E_f$	$J_f^\pi$
376.7	868.5+y	(10 <sup>-</sup> )	491.8+y	(8 <sup>-</sup> )	584.0	2133.3+y	(15 <sup>-</sup> )	1549.3+y	(13 <sup>-</sup> )
397.8	1248.4	(13 <sup>+</sup> )	850.6	(11 <sup>+</sup> )	587.5	2155.5+x	(16 <sup>+</sup> )	1568.0+x	(14 <sup>+</sup> )
399.4	814.6+x	(11 <sup>+</sup> )	415.2+x	(9 <sup>+</sup> )	614.3	3386.2	(21 <sup>+</sup> )	2771.9	(19 <sup>+</sup> )
409.1	1051.4+y	(11 <sup>-</sup> )	642.3+y	(9 <sup>-</sup> )	616.5	2469.5+x	(17 <sup>+</sup> )	1853.0+x	(15 <sup>+</sup> )
442.0	1045.6+x	(12 <sup>+</sup> )	603.6+x	(10 <sup>+</sup> )	620.0	2496.8+y	(16 <sup>-</sup> )	1876.8+y	(14 <sup>-</sup> )
455.8	1704.2	(15 <sup>+</sup> )	1248.4	(13 <sup>+</sup> )	642.9	2798.4+x	(18 <sup>+</sup> )	2155.5+x	(16 <sup>+</sup> )
463.3	1331.8+y	(12 <sup>-</sup> )	868.5+y	(10 <sup>-</sup> )	664.3	3133.8+x	(19 <sup>+</sup> )	2469.5+x	(17 <sup>+</sup> )
483.0	1297.6+x	(13 <sup>+</sup> )	814.6+x	(11 <sup>+</sup> )	664.5	2797.8+y	(17 <sup>-</sup> )	2133.3+y	(15 <sup>-</sup> )
497.9	1549.3+y	(13 <sup>-</sup> )	1051.4+y	(11 <sup>-</sup> )	671.5	4057.7	(23 <sup>+</sup> )	3386.2	(21 <sup>+</sup> )
508.2	2212.4	(17 <sup>+</sup> )	1704.2	(15 <sup>+</sup> )	672.3	3470.7+x	(20 <sup>+</sup> )	2798.4+x	(18 <sup>+</sup> )
522.4	1568.0+x	(14 <sup>+</sup> )	1045.6+x	(12 <sup>+</sup> )	690.0	3186.8+y	(18 <sup>-</sup> )	2496.8+y	(16 <sup>-</sup> )
545.0	1876.8+y	(14 <sup>-</sup> )	1331.8+y	(12 <sup>-</sup> )	728.0	4785.7	(25 <sup>+</sup> )	4057.7	(23 <sup>+</sup> )
555.4	1853.0+x	(15 <sup>+</sup> )	1297.6+x	(13 <sup>+</sup> )	739.5	3537.3+y	(19 <sup>-</sup> )	2797.8+y	(17 <sup>-</sup> )
559.5	2771.9	(19 <sup>+</sup> )	2212.4	(17 <sup>+</sup> )					

$^{159}\text{Tb}(\text{<sup>18</sup>O},\text{5n}\gamma), \text{<sup>162</sup>Dy}(\text{<sup>14</sup>N},\text{4n}\gamma)$     1988Kr19Level Scheme

$^{159}\text{Tb}(\text{<sup>18</sup>O},\text{5n}\gamma),^{162}\text{Dy}(\text{<sup>14</sup>N},\text{4n}\gamma)$     **1988Kr19**Level Scheme (continued)

$^{159}\text{Tb}({}^{18}\text{O}, 5n\gamma), {}^{162}\text{Dy}({}^{14}\text{N}, 4n\gamma)$  1988Kr19